

京都大学大学院 学生員・尾崎洋一郎  
京都大学工学部 正会員 亀田 弘行

### 1. まえがき

本研究は耐震設計における地震荷重の設定に重要な影響を与える地震危険度を定量的に評価するために、従来多く用いられてきたポアソン過程モデルを検討し、より現象に忠実なモデルを提案しようとしたものである。資料としては、京都において過去に発生した震度Ⅳ以上の地震を用いた。一般に、古い時代の地震資料ほど信頼度が低いと考えられるが、京都の歴史性を考慮して資料の採否における詳細を検討により、京都の歴史地震資料の信頼度がかなり高いと判断から、ここでは資料に対する加重評価は行わない。

### 2. 複合ポアソン過程による地震発生のモデル

従来用いられてきたポアソン過程による地震発生モデルの、実際の現象に対する適合性を調べるために、京都において発生した被害地震の各再帰時間と、指數確率紙にプロットしたものが、図-1である。地震の発生が、ポアソン過程に適合すれば、その再帰時間分布は指數分布となり、したがって指數確率紙上に各データは直線上に分布することになる。しかし図-1で明らかのように、ある再帰時間 $t_0$ を境界として、特徴的な折れ曲がりが見られる。これは地震の発生率が、 $t_0$ を境界として増加していることを意味する。また図-1で、 $t_0$ より大きい再帰時間を経過したのち発生した地震は、すべて震度Ⅵ以上の中震である。地震の発生は地盤内に蓄積したひずみエネルギーが原因であり、一般的な傾向として、地震の発生が長期間見られなければ、次の地震は発生しやすくなり、また発生した場合には規模が大きく、固定した観測点からみて、それだけ震度が大きくなりやすいと考えられる。このことと、先の指數確率紙上に見られる結果はよく対応している。そこでこの特性に即した過程として、平均発生率の変化するポアソン過程を考え、これを複合ポアソン過程とよぶことにする。複合ポアソン過程とは、発生率 $\lambda(t)$ なるポアソン過程において、長さ $a$ の期間地震の発生が見られない場合には、発生率 $\lambda(t)$ に増加し、その状態で地震が発生する、再び発生率 $\lambda(t)$ に戻るようすの過程（ただし $\lambda(t)$ ）である。複合ポアソン過程における再帰時間分布は次式で表わされ、図-1のようすに実際のデータとよく適合する。

$$F_{T_i}(t) = \begin{cases} 0 & ; 0 \leq t < a \\ 1 - e^{-\lambda_1(t-a)} & ; a \leq t < t_0 \\ 1 - e^{-\{\lambda_2(t-a) - (\lambda_2 - \lambda_1)(t_0 - a)\}} & ; t_0 \leq t \end{cases} \quad (1)$$

ただし、 $a$ は上記の仮定をさらに一般化するための時間パラメータであるが、本報告では $a=0$ とする。

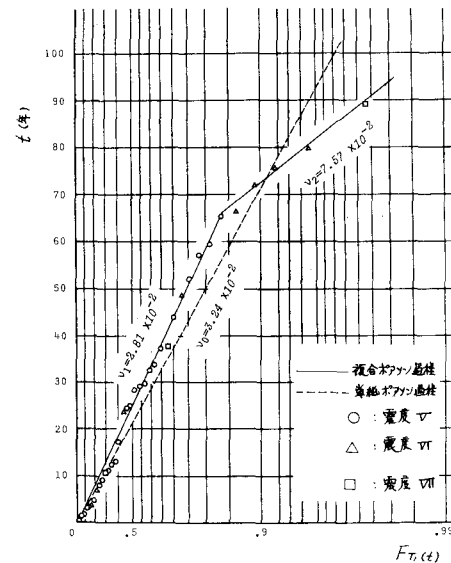


図-1 指數確率紙上の再帰時間分布  
(データ : EA)

	$\lambda_1$ (回/年)	$\lambda_2$ (回/年)	$\lambda_0$ (回/年)
$E_A$	$2.81 \times 10^{-2}$	$7.57 \times 10^{-2}$	$3.24 \times 10^{-2}$
$E_D$	$6.13 \times 10^{-3}$	$2.07 \times 10^{-2}$	$9.34 \times 10^{-3}$

表-1 各パラメータの値

京都の歴史地震資料<sup>(1),(2)</sup>を震度V以上の37の地震(データEA; 827年11月～1936年2月), 震度VI以上の10の地震(データED; 887年2月～1830年1月)の2種のデータに編成した。それそれについて再帰時間をプロットし回帰分析によってパラメータを求めた結果を表-1に示した。データEAについては、図-1も参照されたい。また図-1において点線で示したのは、単純なポアソン過程に対する再帰時間の分布関数である。

### 3. 将来における被害地震の発生確率

複合ポアソン過程では過去における最後の地震の発生時期と、地震危険度を評価する時点までの、地震の発生していき、期間の長さを解析に反映させることができ、この点が単純なポアソン過程と異なる。将来の7年間ににおける地震回数をNとするとき、この7年間での地震の発生確率は、式(1)の再帰時間分布を用いて次式のように表わされる。

$$P(N \geq 1) = \frac{F_{T_1}(t+t_e) - F_{T_1}(t_e)}{1 - F_{T_1}(t_e)} \quad (2)$$

データEA, EDについてこの複合ポアソン過程を用いた震度V以上、震度VI以上の地震の発生確率を求めた結果を図-2, 図-3に示した。同図には、それぞれのデータについて、単純なポアソン過程を用いた場合の発生確率をも示した。

先に述べたように、データEAでは再帰時間が75年を超えると、発生する地震はすべて震度VI以上の地震である。この特性を利用して、次のように定式化を行ない、震度V以上のデータから、震度VI以上の地震の発生確率を求めた。

$$P(N_{\text{VI}} \geq 1) = P(N_{\text{VI}} \geq 1, X_{t_e} = 0) + P(N_{\text{VI}} \geq 1, X_{t_e} \geq 1) \quad (3)$$

上式中、 $N_{\text{VI}}$ は震度VI以上の地震の発生回数、 $X_{t_e}$ は発生率が75%のもとで発生する地震の発生回数である。式の展開は紙数の関係で省略する。

(3)式を用いた結果を図-4に示した。図-2～4から、地震発生後の経過年数 $t_e$ とともに将来の地震発生確率が上昇する様子がわかる。

なお、歴史地震資料のデータとしての精度を向上させる目的で、震度V以上の被害地震について、ある時間範囲内に発生した複数の地震を一括して、ひとつの地震群としてデータに編成した場合の複合ポアソン過程モデルも提案したが、これについては参考文献(3)を参照されたい。

[参考文献] (1) 宇佐美龍夫「資料日本被害地震統覧」、(2) 宇佐美・久本

「京都が震度V以上の地震に襲われる確率」、地震研究所彙報、49巻

(3) 亀田・尾崎 土木学会関西支部年次学術講演会(昭和53年) 講演概要

(4) Ang, A.-H.-S., Tang, W.H.; 伊藤 学・亀田弘行 訳

「土木・建築ための確率統計の基礎」

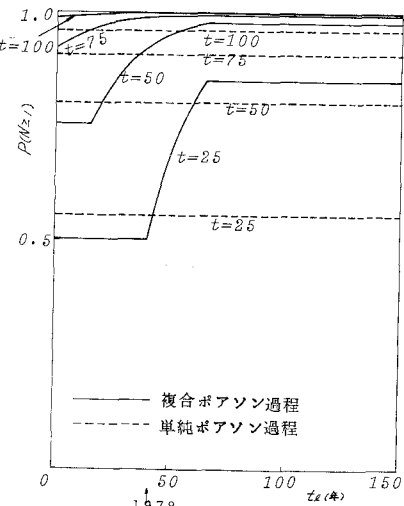


図-2 震度V以上の発生確率(EA)

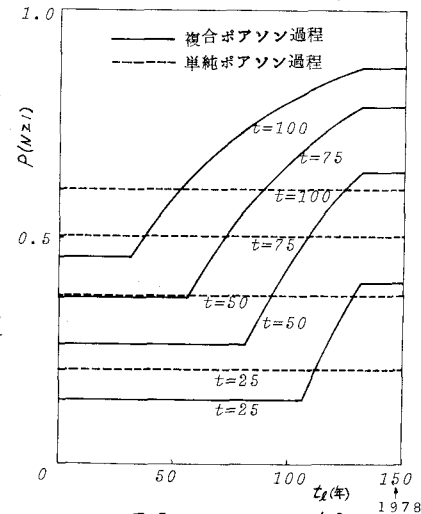


図-3 震度VI以上の発生確率(ED)

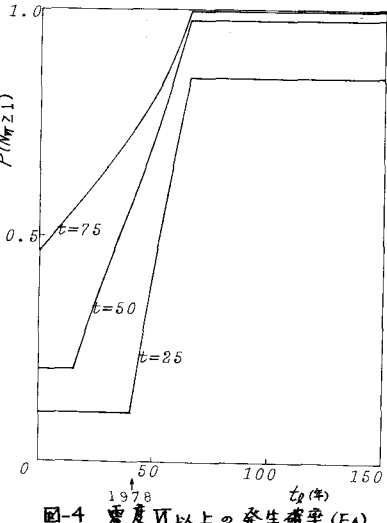


図-4 震度VI以上の発生確率(EA)